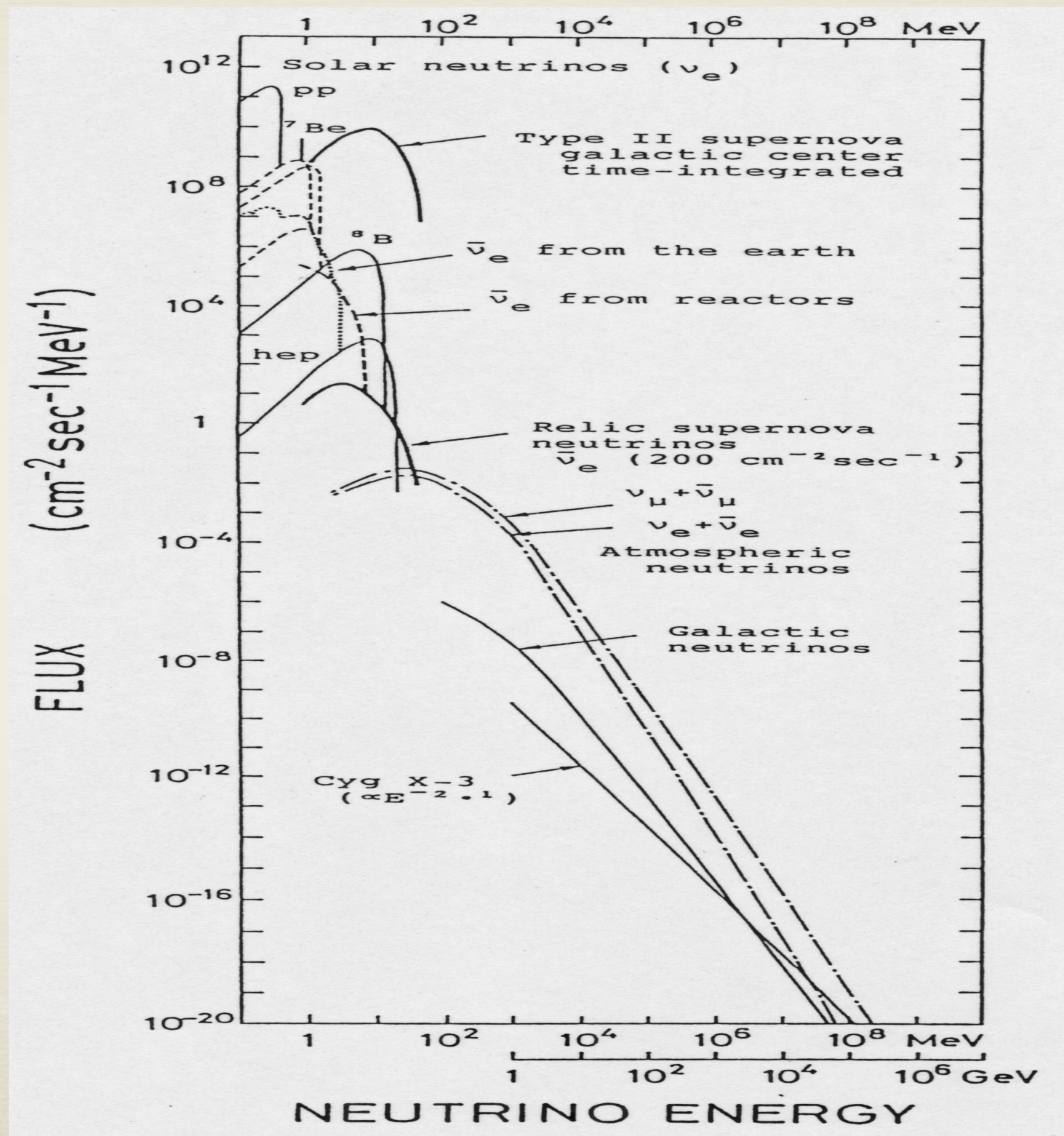


# ニュートリノ天文学の 進展と今後の展望

東京大学宇宙線研究所  
神岡宇宙素粒子研究施設  
小汐由介

# 様々なニュートリノ源



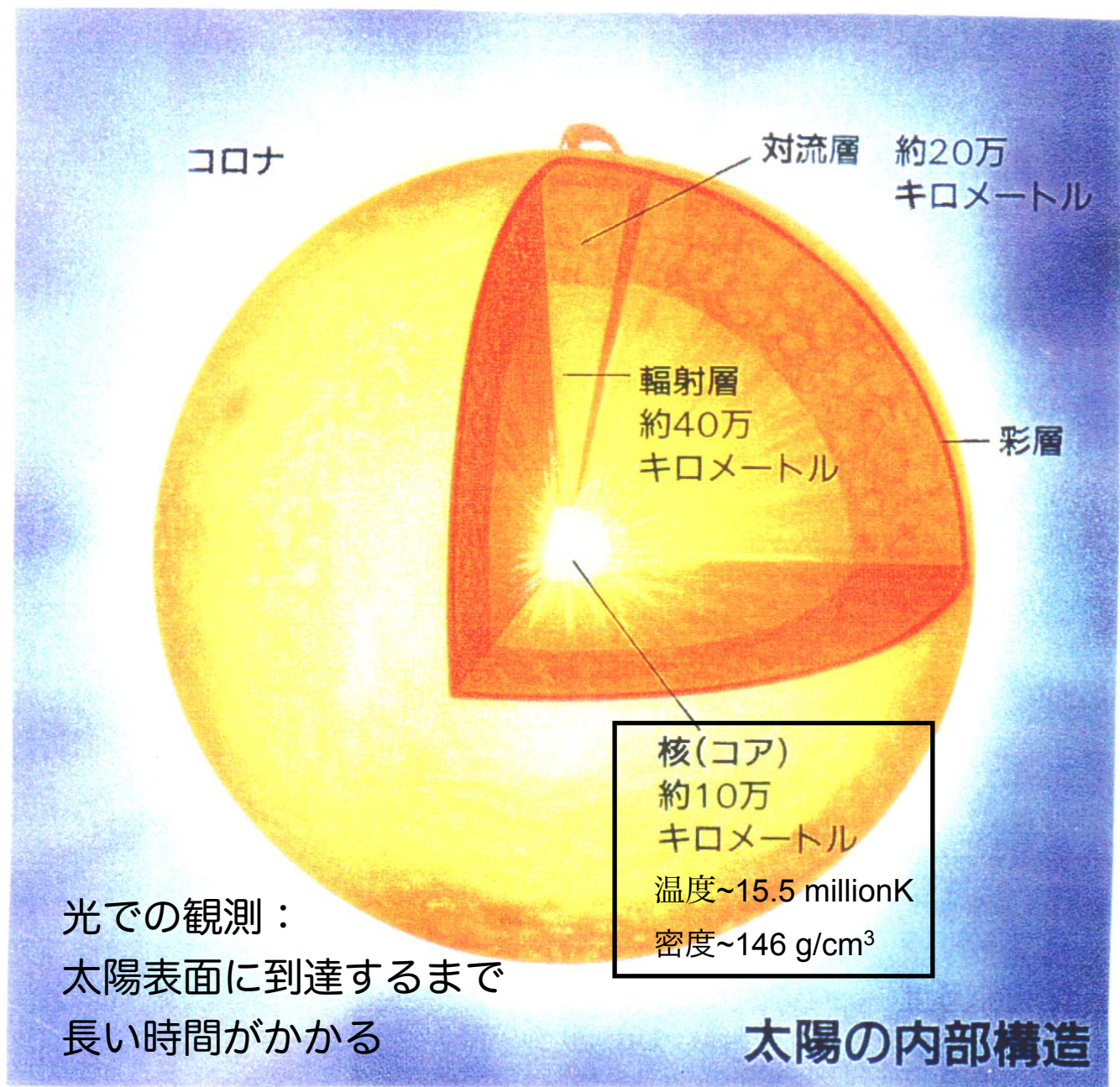
太陽／超新星

# ニュートリノ天文学の 進展と今後の展望

東京大学宇宙線研究所  
神岡宇宙素粒子研究施設  
小汐由介

# 太陽ニュートリノ

# 太陽ニュートリノ



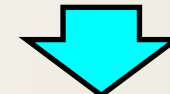
## 太陽内部での核融合反応



(~ $6.6 \times 10^{10}$  neutrinos/sec/cm<sup>2</sup>)

### 太陽ニュートリノ観測の特徴／意義

発生後、約8分で地球に到達



太陽内部を‘リアルタイム’で観測できる

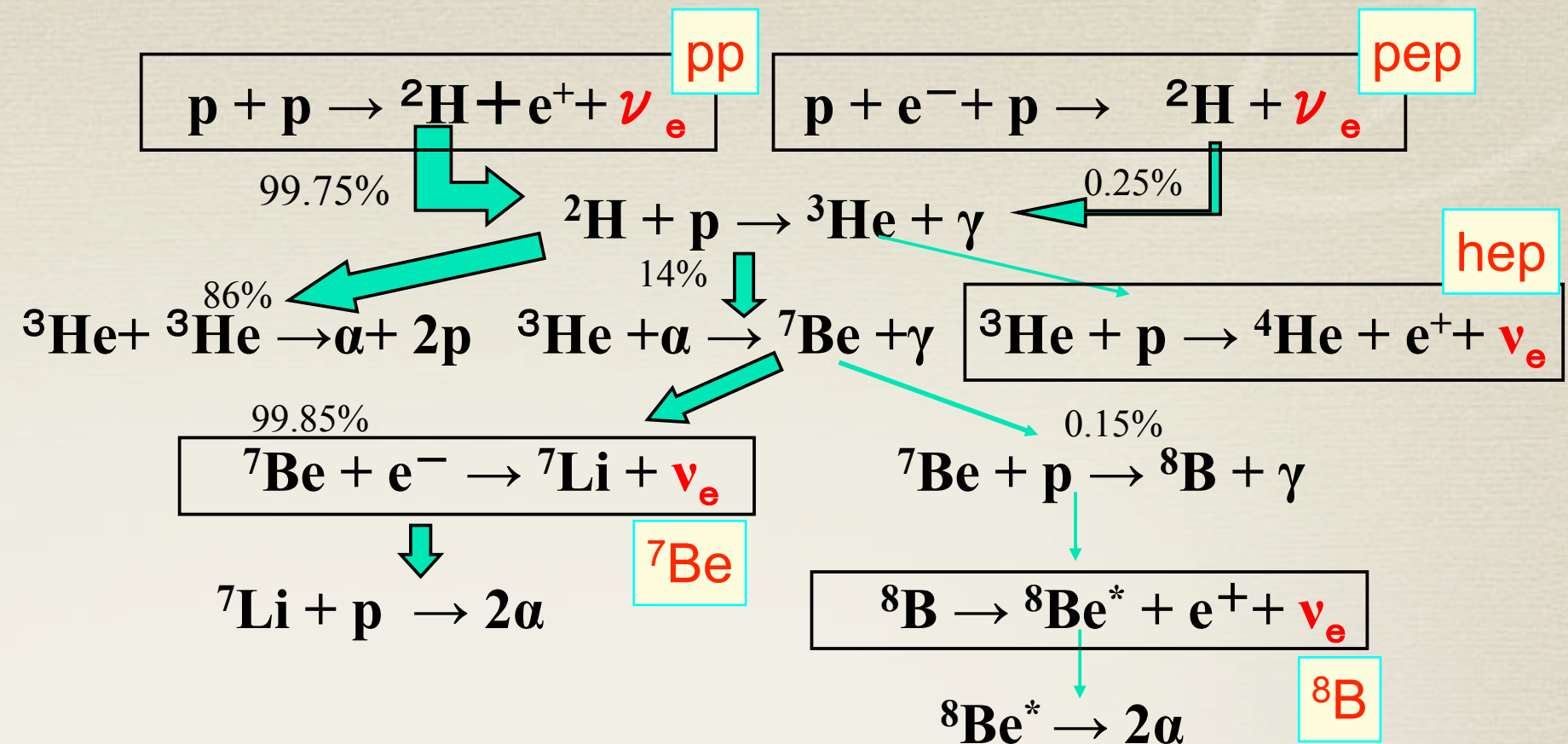
太陽（恒星）のエネルギー発生  
メカニズムの解明に不可欠

素粒子ニュートリノ自身の性質の解明

実際には pp chain, CNO cycle を通して起こる

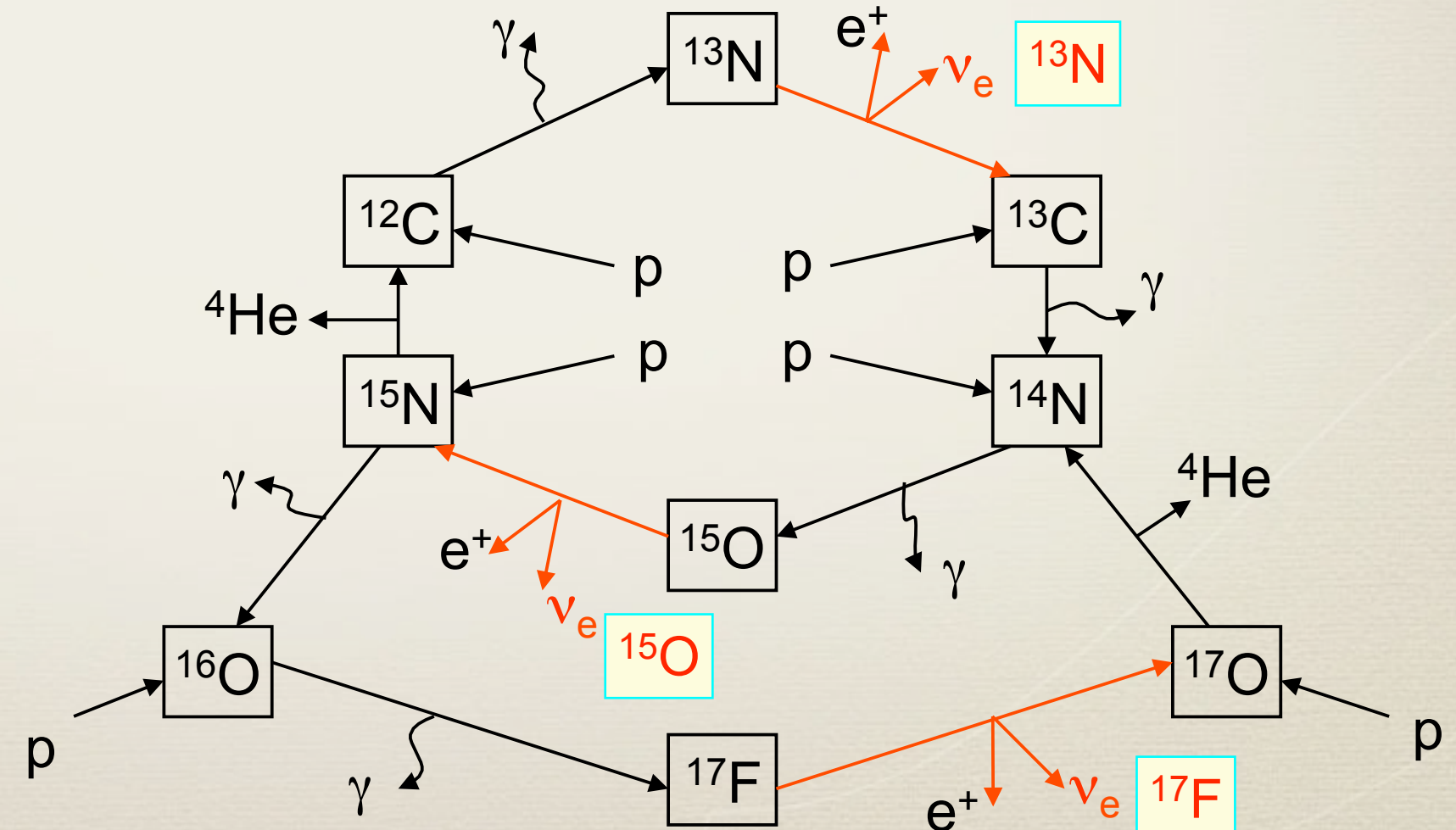
<pp-chain>

太陽では支配的

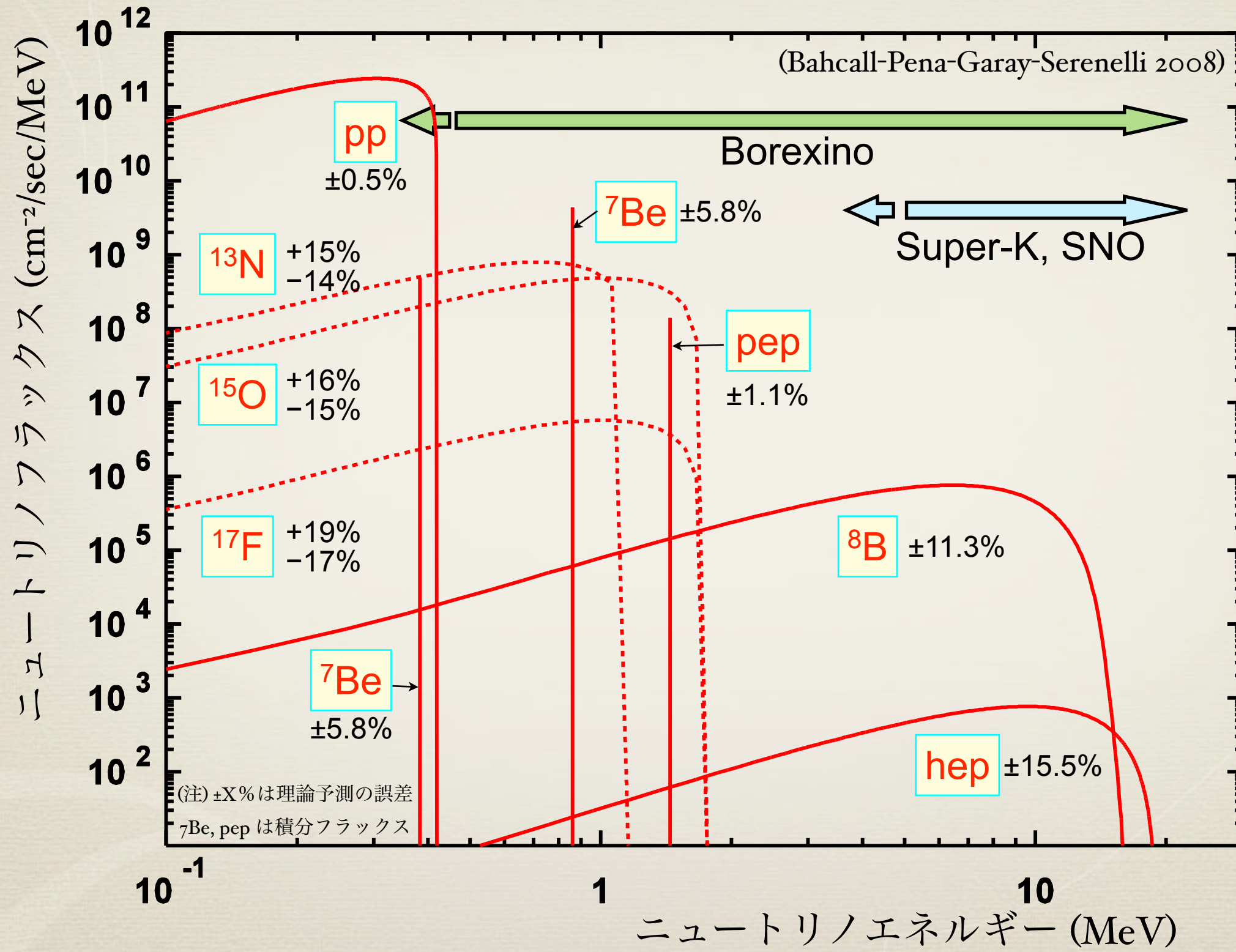


<CNO cycle>

大質量星で重要

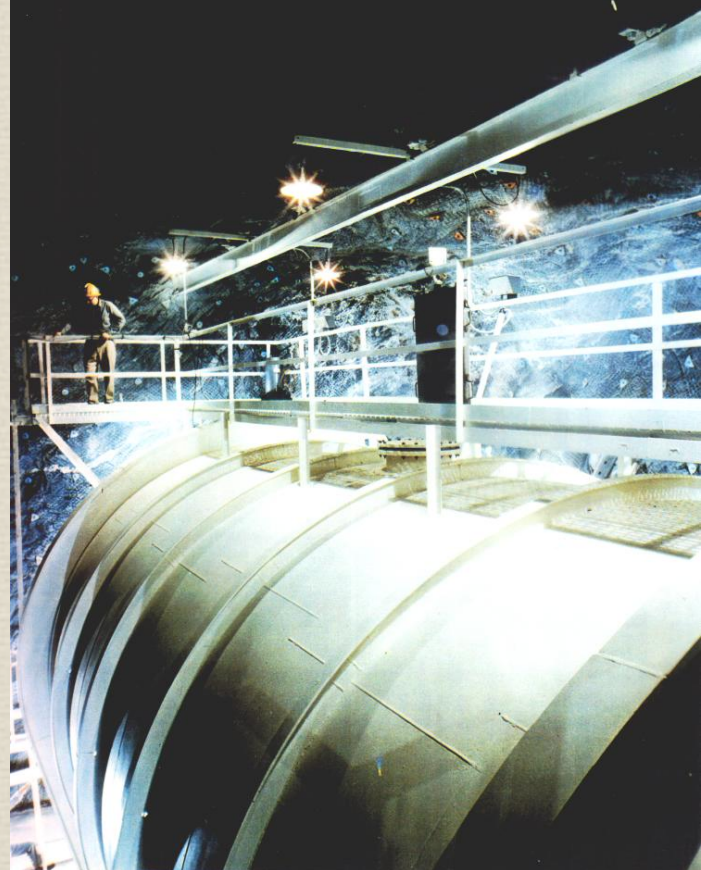


# 太陽ニュートリノスペクトル

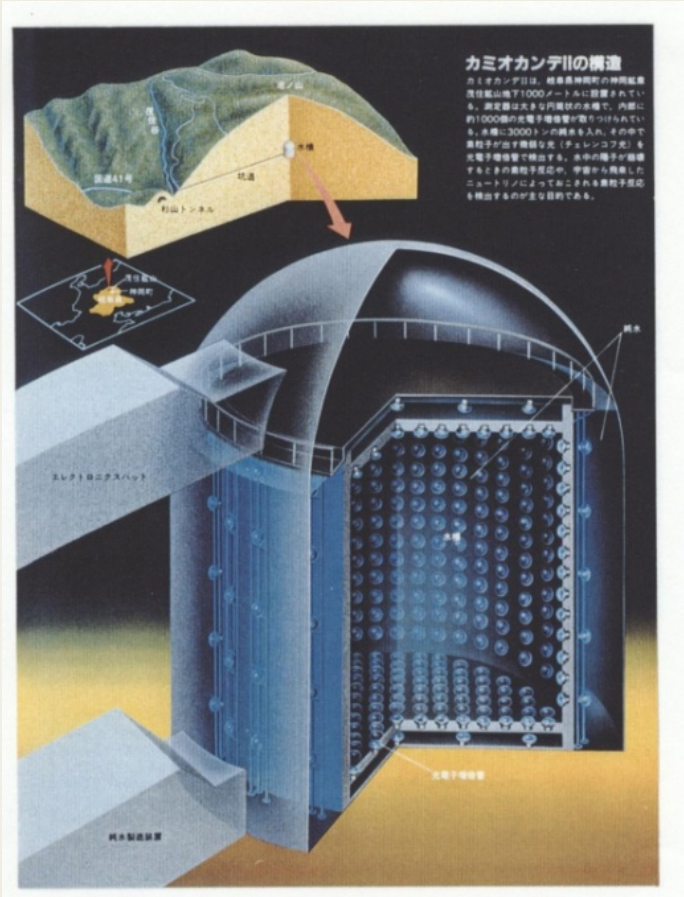


# 太陽ニュートリノ問題

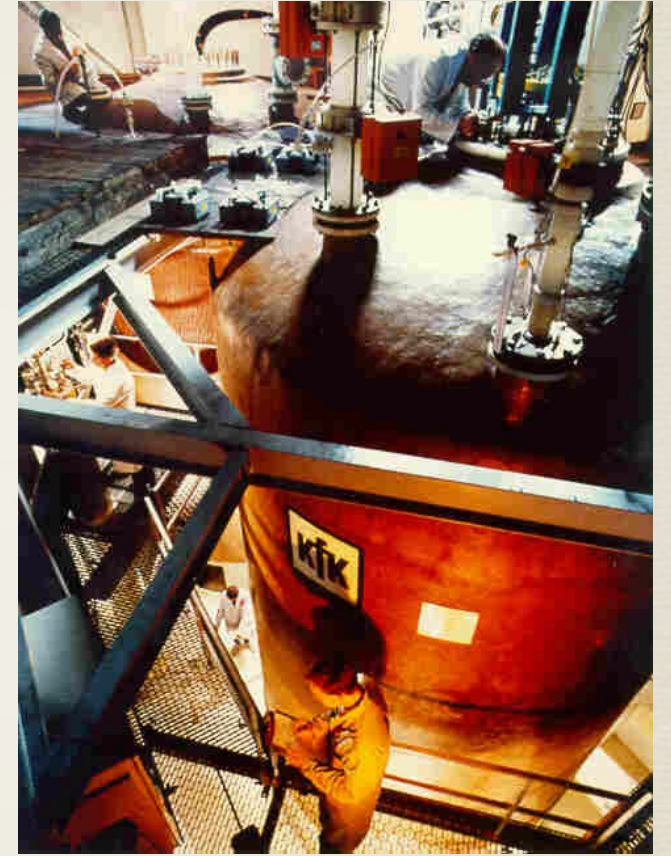
1970~90年代の太陽ニュートリノ実験



Chlorine (US)



Kamiokande (Japan)



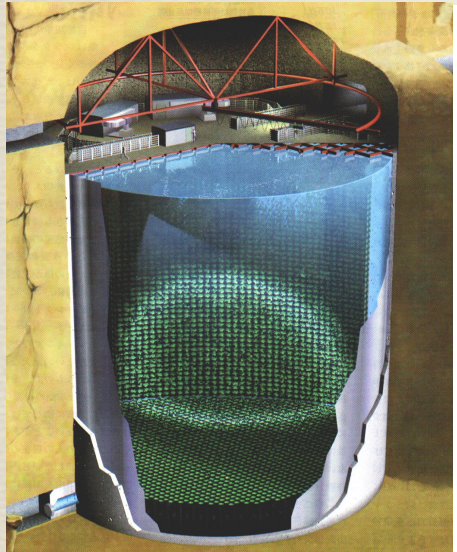
Gallium (Italy / Russia)

全ての実験において観測された太陽ニュートリノ  
フラックスが理論予測値に比べ少なかった

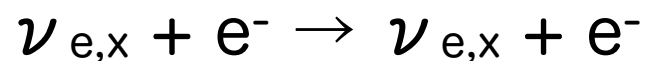
# ニュートリノ振動

2000年代

## Super-Kamiokande



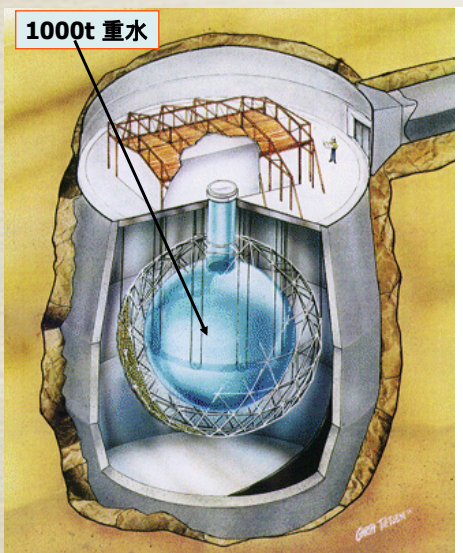
電子弹性散乱 (ES)



入射ニュートリノの方向を保存  
高統計、高精度の測定

電子ニュートリノ反応断面積は  
他のニュートリノの~7倍

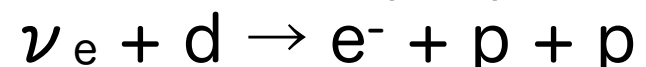
## SNO



1000t 重水

ニュートリノの種類を区別できる

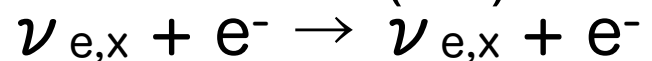
荷電力レント (CC)



中性力レント (NC)



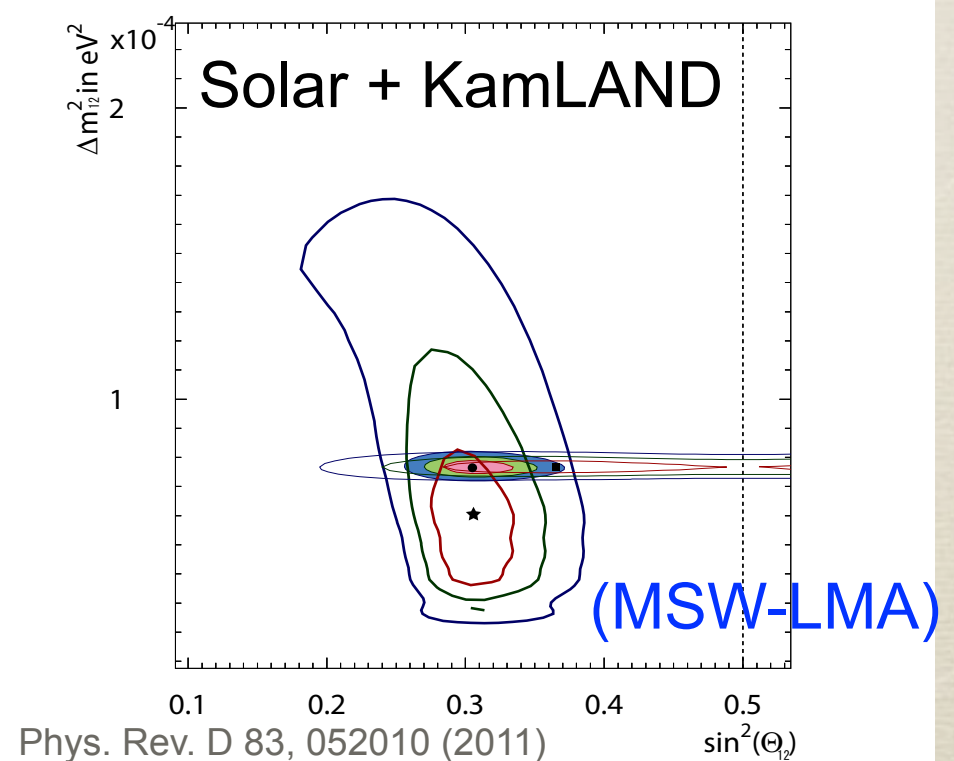
電子弹性散乱 (ES)



太陽内部で  
発生時



ニュートリノ振動パラメータ



# 現在／今後の課題

## ニュートリノの性質

- \* ニュートリノ振動パラメータの精密測定
- \*  ${}^7\text{Be}$ , pep太陽ニュートリノ測定→Borexino
- \* スペクトルの歪み／フラックス昼夜変動→Super-K  
(横澤さん)
- \* エキゾチックなモデルの検証
- \* Sterile neutrino? Neutrino vs anti-neutrino? etc.

# 現在／今後の課題

## 天体物理学の観点から

\* 太陽モデルの検証

\* 重い元素の量に大きな不定性

→CNOサイクルの測定が重要

\* 太陽ニュートリノの大部分を  
占めるppニュートリノの直接  
測定

重元素量比の異なるモデルによる  
太陽ニュートリノフラックスの違い

(z/x 0.0229 0.0165)

	GS98	AGS05
pp	$5.97 \times 10^{10}$	$6.04 \times 10^{10}$
pep	$1.41 \times 10^8$	$1.45 \times 10^8$
hep	$7.90 \times 10^3$	$8.22 \times 10^3$
~10%	${}^7\text{Be}$ $5.07 \times 10^9$	$4.55 \times 10^9$
	${}^8\text{B}$ $5.94 \times 10^6$	$4.72 \times 10^6$
~30%	${}^{13}\text{N}$ $2.88 \times 10^8$	$1.89 \times 10^8$
	${}^{15}\text{O}$ $2.15 \times 10^8$	$1.34 \times 10^8$
	${}^{17}\text{F}$ $5.84 \times 10^6$	$3.25 \times 10^6$

# 現在／今後の課題

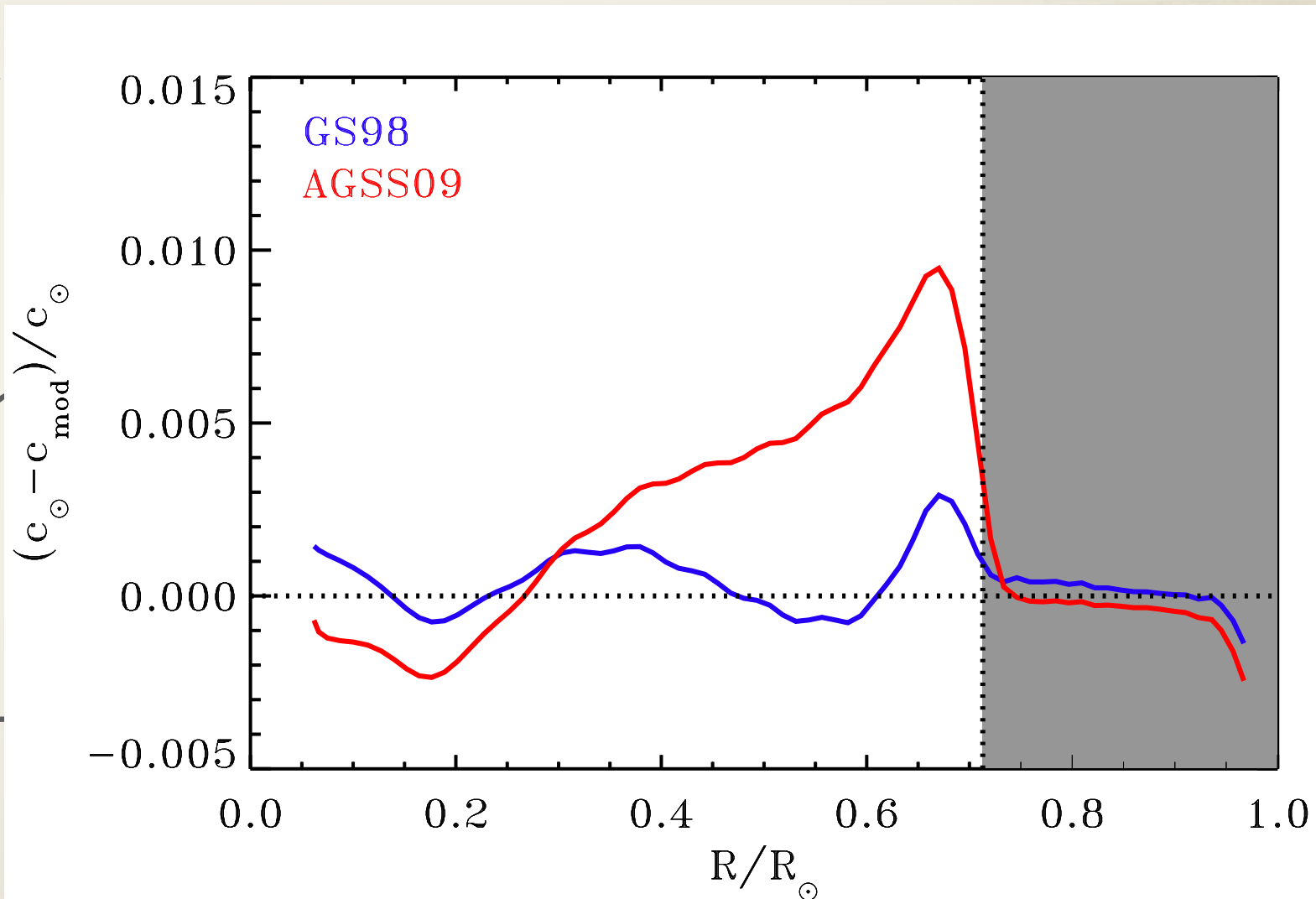
天体物理学の観点から

\* 太陽モデルの検証

\* 重い元素の量に  
→CNOサイクル

\* 太陽ニュートリ  
占めるpp ニュー  
測定

日震学との比較



# 現在／今後の課題

## 天体物理学の観点から

\* 太陽モデルの検証

\* 重い元素の量に大きな不定性

→CNOサイクルの測定が重要

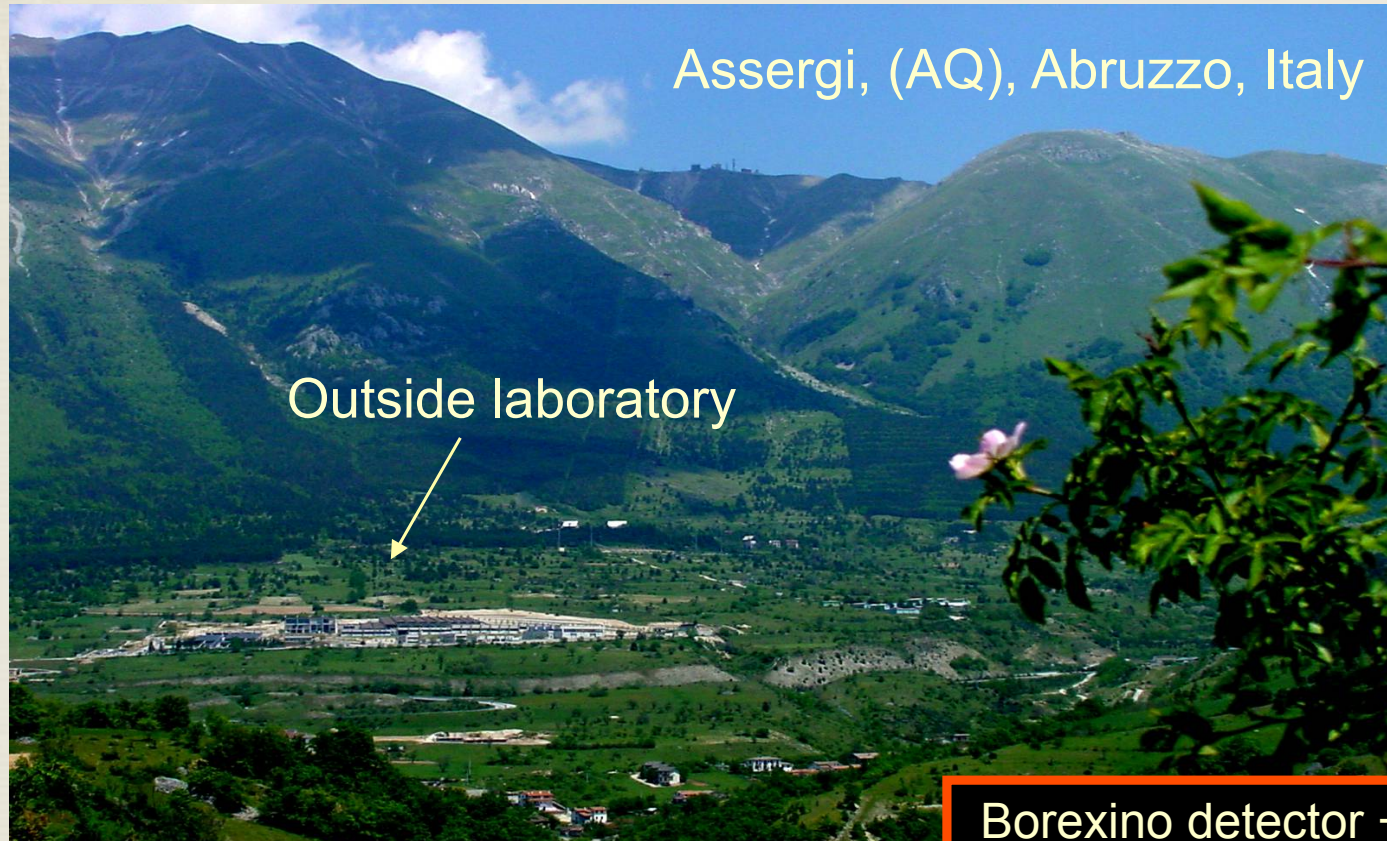
\* 太陽ニュートリノの大部分を  
占めるppニュートリノの直接  
測定

重元素量比の異なるモデルによる  
太陽ニュートリノフラックスの違い

(z/x 0.0229 0.0165)

	GS98	AGS05
pp	$5.97 \times 10^{10}$	$6.04 \times 10^{10}$
pep	$1.41 \times 10^8$	$1.45 \times 10^8$
hep	$7.90 \times 10^3$	$8.22 \times 10^3$
~10%	${}^7\text{Be}$ $5.07 \times 10^9$	$4.55 \times 10^9$
	${}^8\text{B}$ $5.94 \times 10^6$	$4.72 \times 10^6$
~30%	${}^{13}\text{N}$ $2.88 \times 10^8$	$1.89 \times 10^8$
	${}^{15}\text{O}$ $2.15 \times 10^8$	$1.34 \times 10^8$
	${}^{17}\text{F}$ $5.84 \times 10^6$	$3.25 \times 10^6$

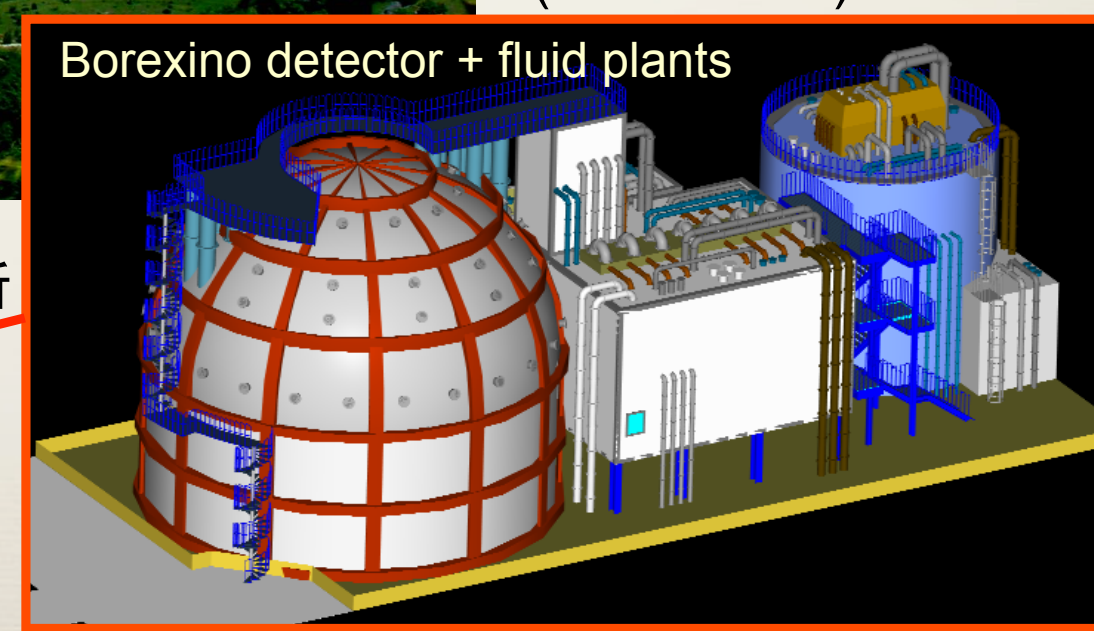
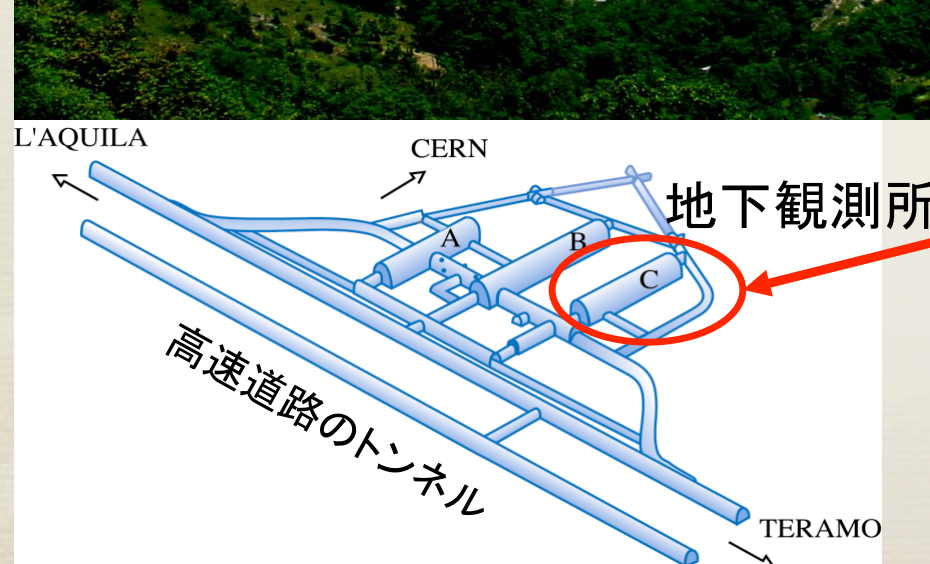
# Laboratori Nazionali del Gran Sasso



120km from Roma



1300m underground  
(3500m w.e.)

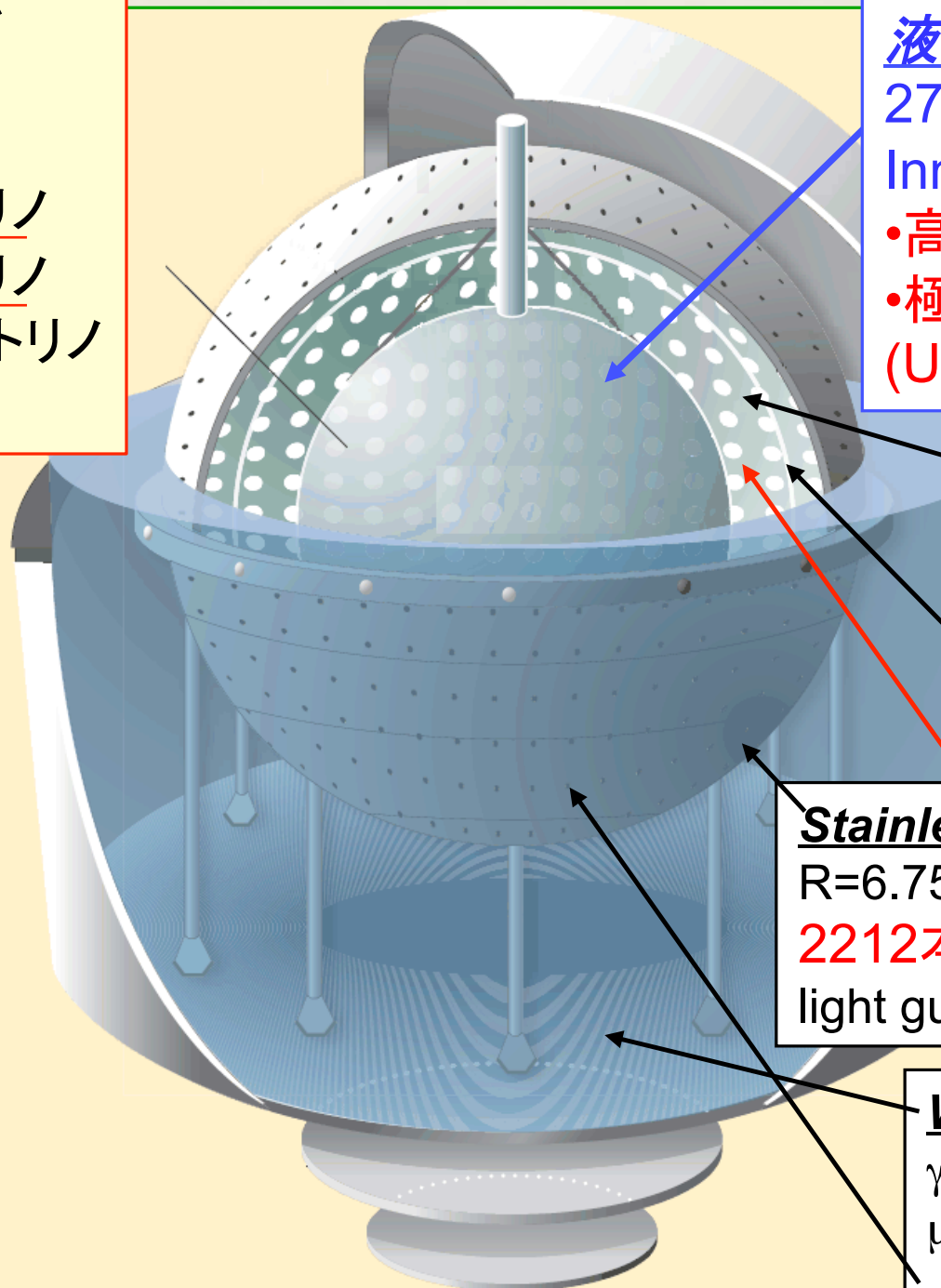


# Borexino

2007年実験開始

観測対象

- ✓ 太陽ニュートリノ
- ✓ 地球ニュートリノ
- ✓ 超新星ニュートリノ
- 等々



液体シンチレータ:

270 t PC+PPO (1.5g/l)  
Inner nylon vessel ( $R=4.25\text{m}$ )  
•高い発光量~500p.e./MeV  
•極限まで放射性物質を低減  
(U, Th...)  $<10^{-16}\text{g/g}$

Buffer region:

PC+DMP quencher (5g/l)  
 $4.25\text{m} < R < 6.75\text{m}$

Outer nylon vessel:

$R=5.50\text{m}$  ( $^{222}\text{Rn}$  Barrier)

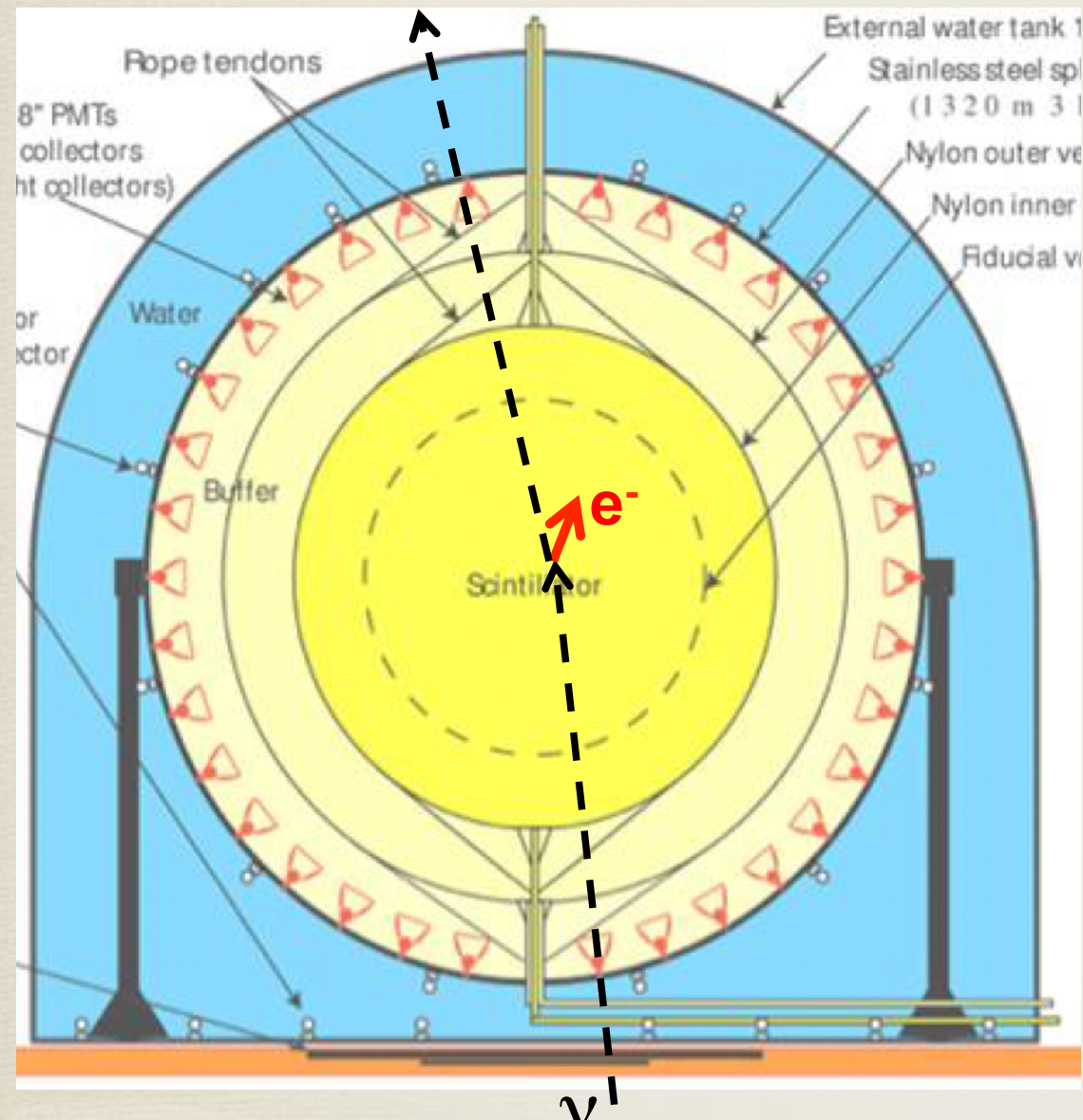
Stainless Steel Sphere:

$R=6.75\text{m}$   
2212本の8インチ光電子増倍管  
light guide cone.  $1350\text{m}^3$

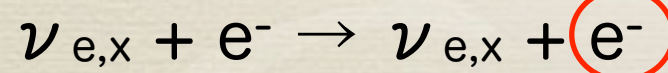
Water tank:

$\gamma$  and n shield.  $2100\text{m}^3$   
 $\mu$  water Cherenkov detector  
208 PMTs in water

# 太陽ニュートリノ観測

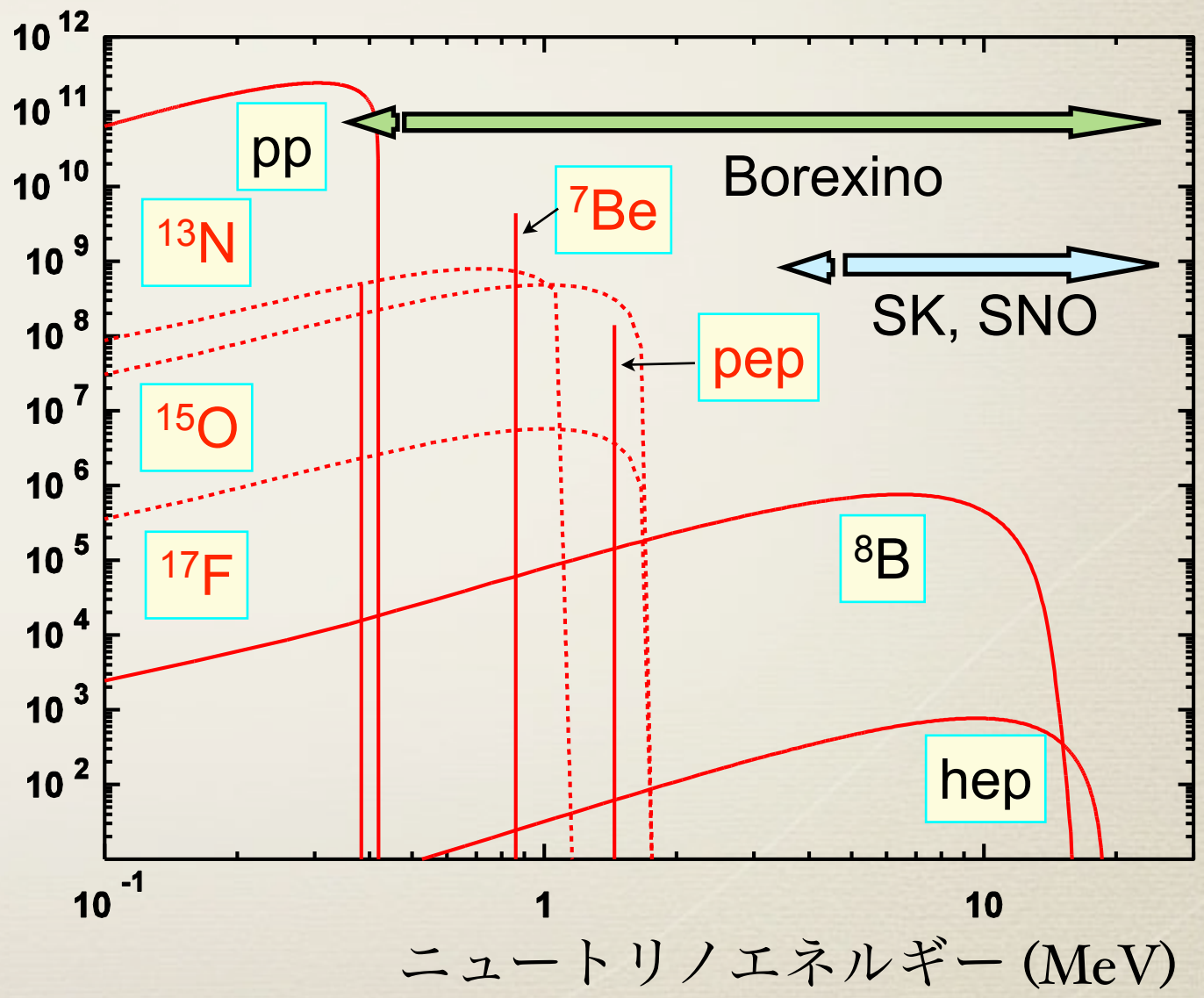


電子弹性散乱 (ES)



入射ニュートリノの方向を保存しない

~1 MeV 以下領域での精密測定



# 観測結果

Phys. Rev. Lett 107, 141302 (2011)  
Phys. Rev. Lett 108, 051302 (2012)

## $^{7}\text{Be}$ ニュートリノ

$46.0 \pm 1.5^{+1.5}_{-1.6}$  cnts/day/100ton

First realtime measurement with  
high precision. (<5% uncertainties)

## pepニュートリノ

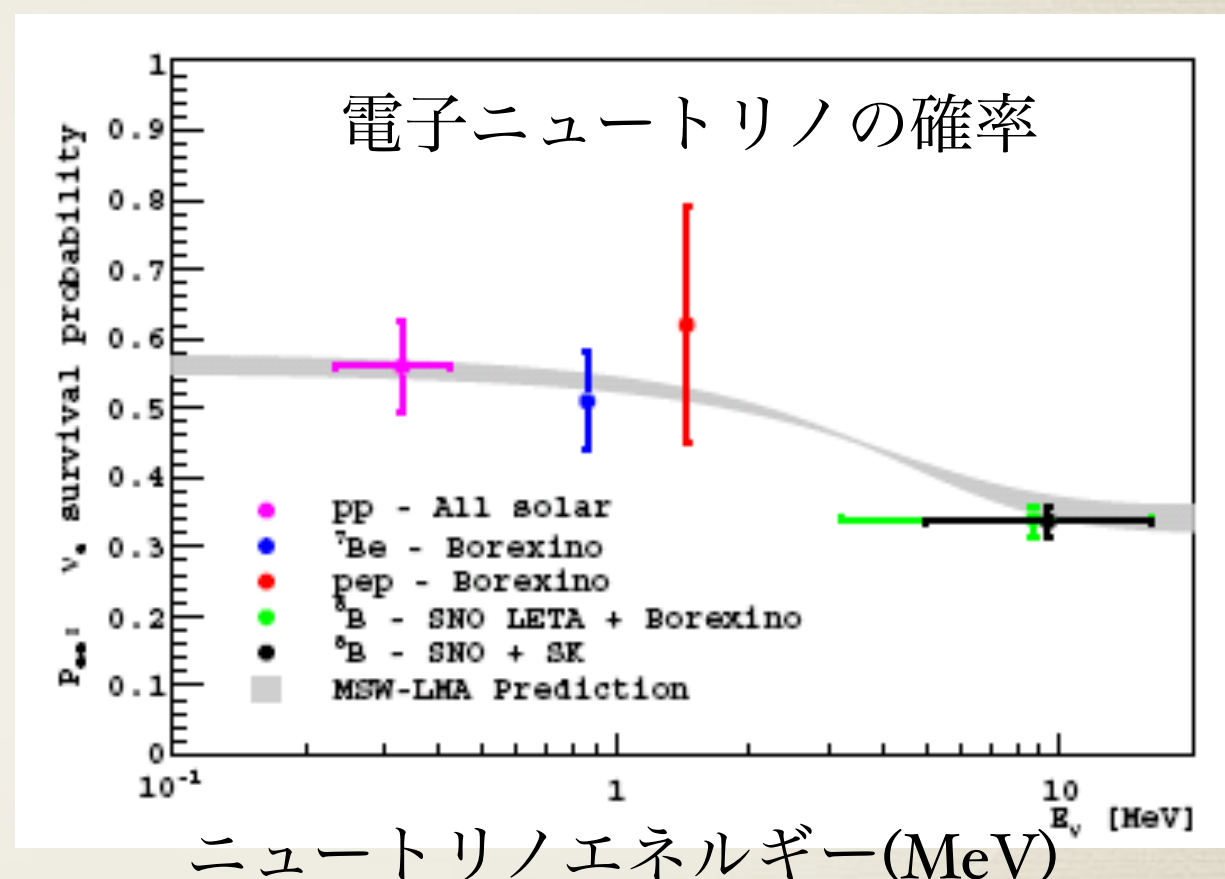
$3.1 \pm 0.6 \pm 0.3$  cnts/day/100ton

First direct observation (98%C.L.)

## CNOニュートリノ

<7.9 cnts/day/100ton

Strongest constraint ( $f_{\text{CNO}} < 1.4$ )



MSW-LMAシナリオと合致

# 観測結果

Phys. Rev. Lett 107, 141302 (2011)  
Phys. Rev. Lett 108, 051302 (2012)

## $^7\text{Be}$ ニュートリノ

$46.0 \pm 1.5^{+1.5}_{-1.6}$  cnts/day/100ton

First realtime measurement with  
high precision. (<5% uncertainties)

## pepニュートリノ

$3.1 \pm 0.6 \pm 0.3$  cnts/day/100ton

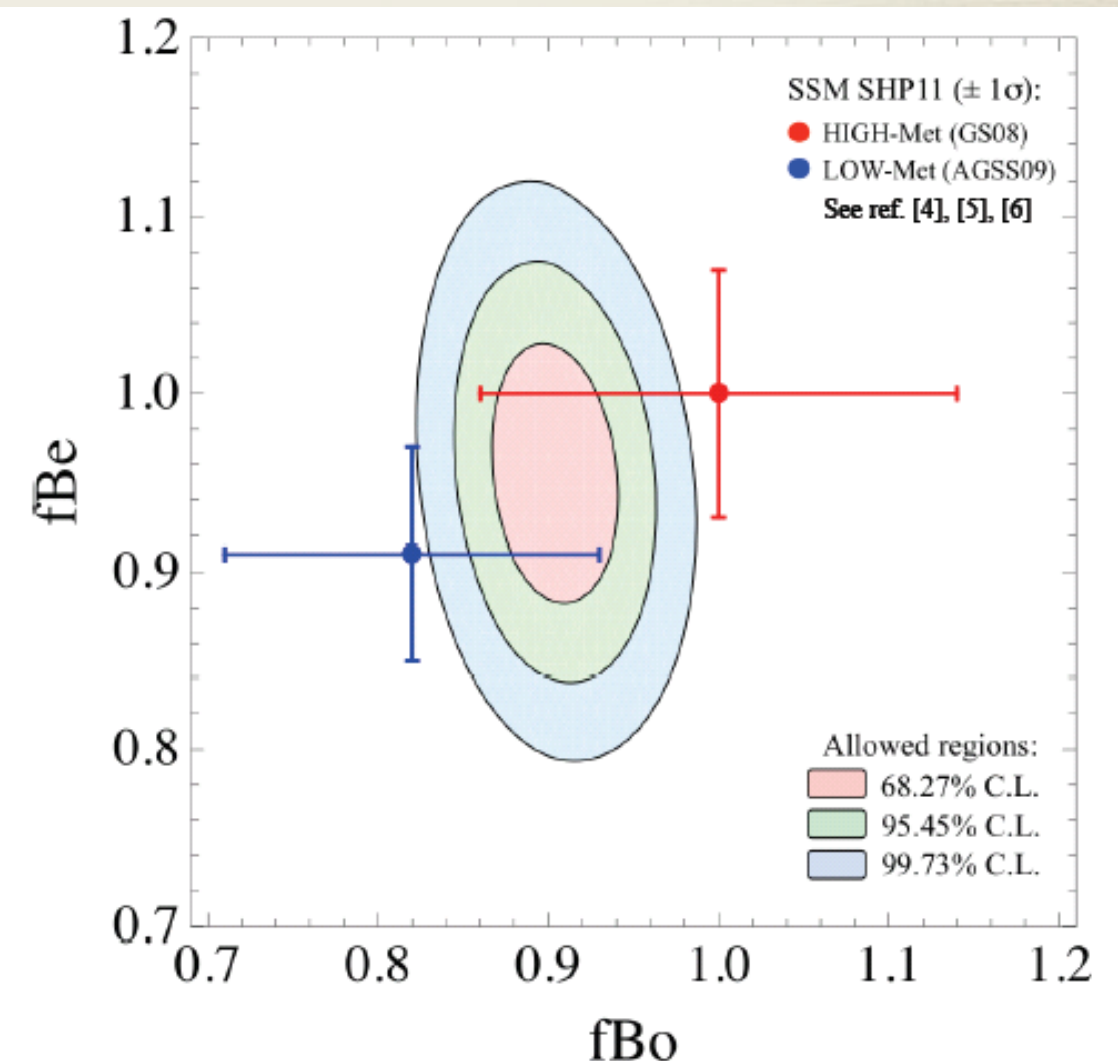
First direct observation (98%C.L.)

## CNOニュートリノ

<7.9 cnts/day/100ton

Strongest constraint ( $f_{\text{CNO}} < 1.4$ )

重元素量比の異なるモデルによる  
 $^7\text{Be}, ^8\text{B}$  フラックスの比較



モデルの決定は難しい。。

# 将来の実験

project	target for solar v	current status / recent information
pep/CNO (ES)		
SNO+	1kt LS	under construction (cf. M.Chen's talk)
KamLAND2	1kt LS	will be after KamLAND-Zen (cf. Y.Gando's talk)
pp(ES)		
XMASS	10 ton(FV) Lq. Xe	commissioning of XMASS-I (total 1ton, ~0.1ton FV)
CLEAN	50 ton Lq. Ne	MiniCLEAN is under construction
HERON	10 ton Lq. He	will not built a full detector (Astropart. Phys. 30, 1 (2008))
pp/7Be(CC)		
LENS	10ton 115In	R&D (In loaded LS)
IPNOS	115In	R&D (InP cell + Lq. Xe detector)
MOON	1.5~3ton 100Mo	R&D (EC branch of 100Tc was measured)
Next generation		
Water Cherenkov	Megaton water	LOI from Hyper-K (arXiv:1109.3262)
Lq. Scintillator	~0.1Mton LS	white paper from LENA (arXiv:1104.5620)
Lq. Argon	~0.1Mton Lq. Ar	

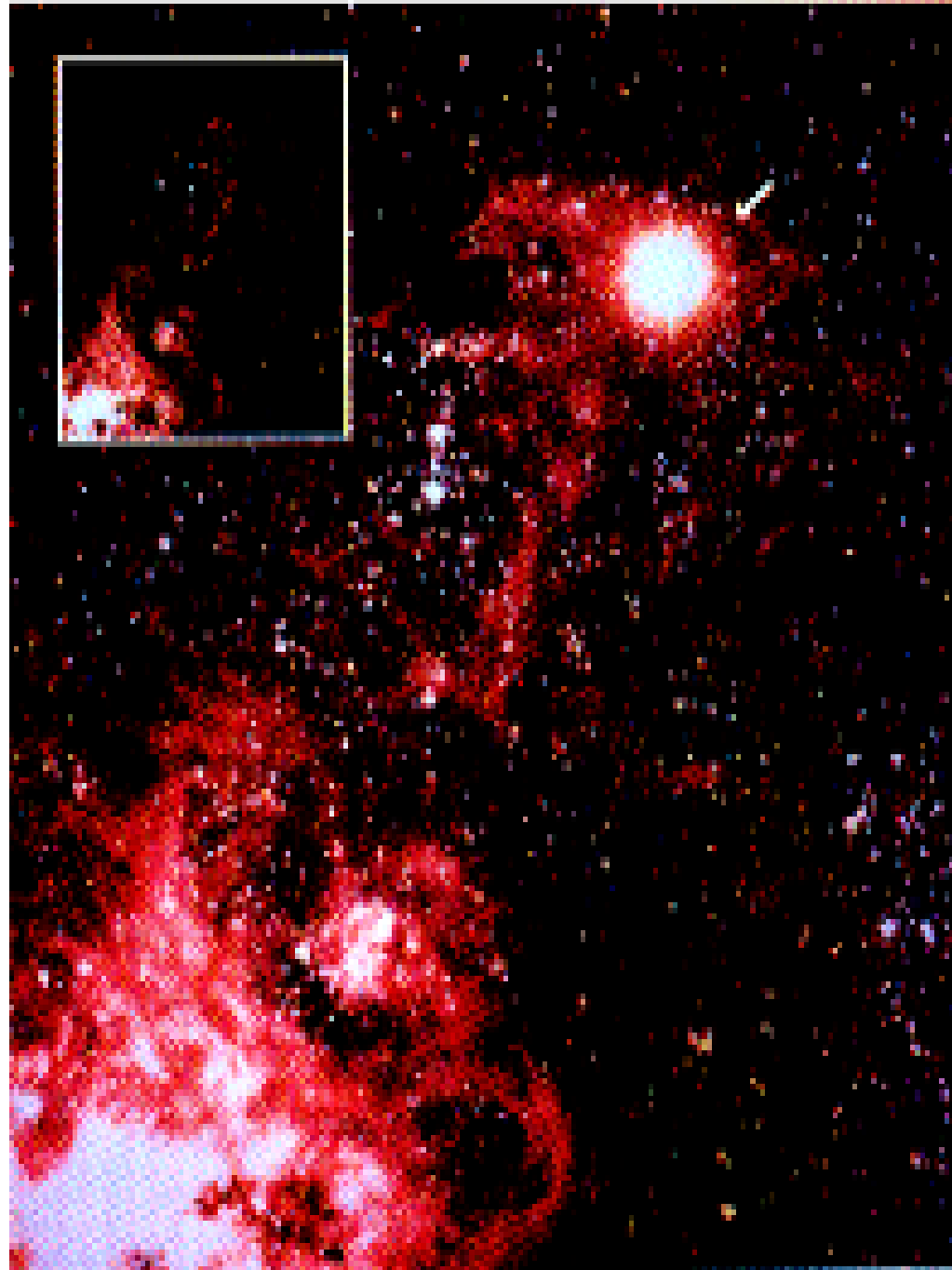
ES: elastic scattering, CC: charged current, LS: liquid scintillator

(Y.Takeuchi, LowNu2002, Seoul, Korea)

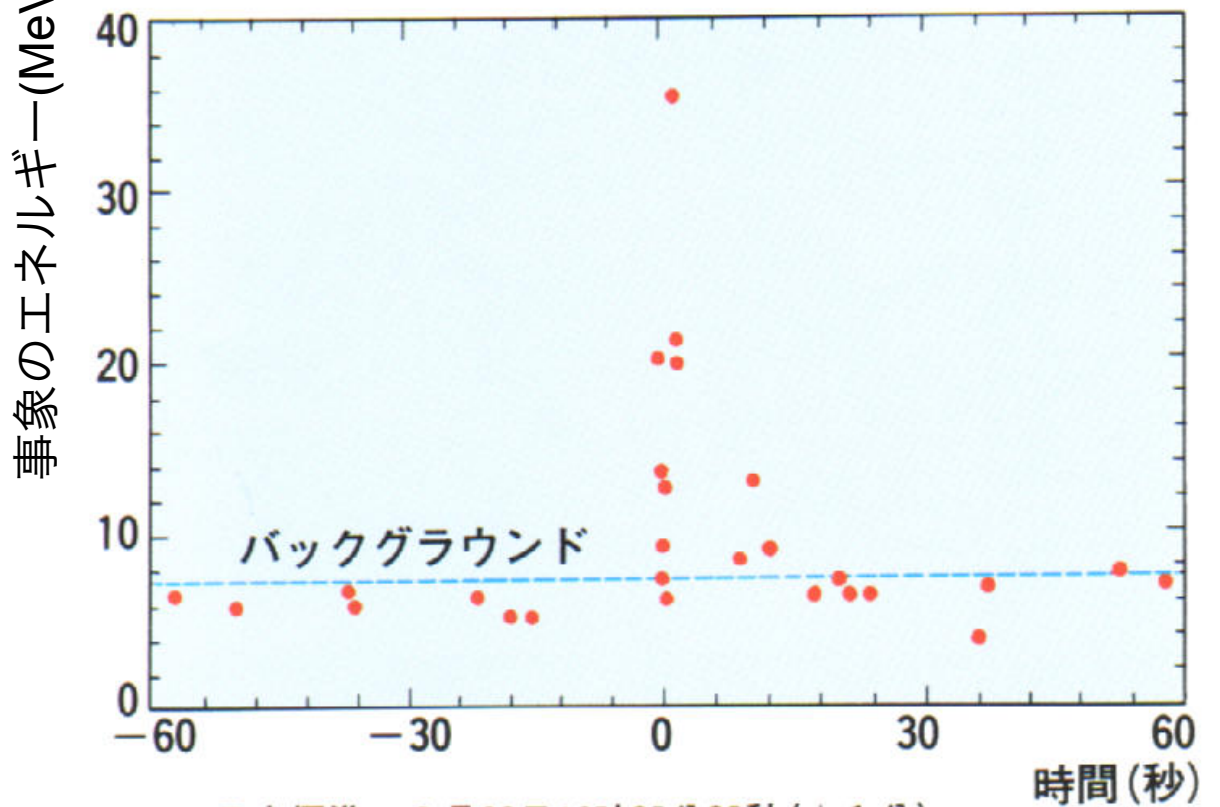
# 超新星ニュートリノ

# 超新星1987A

大マゼラン星雲



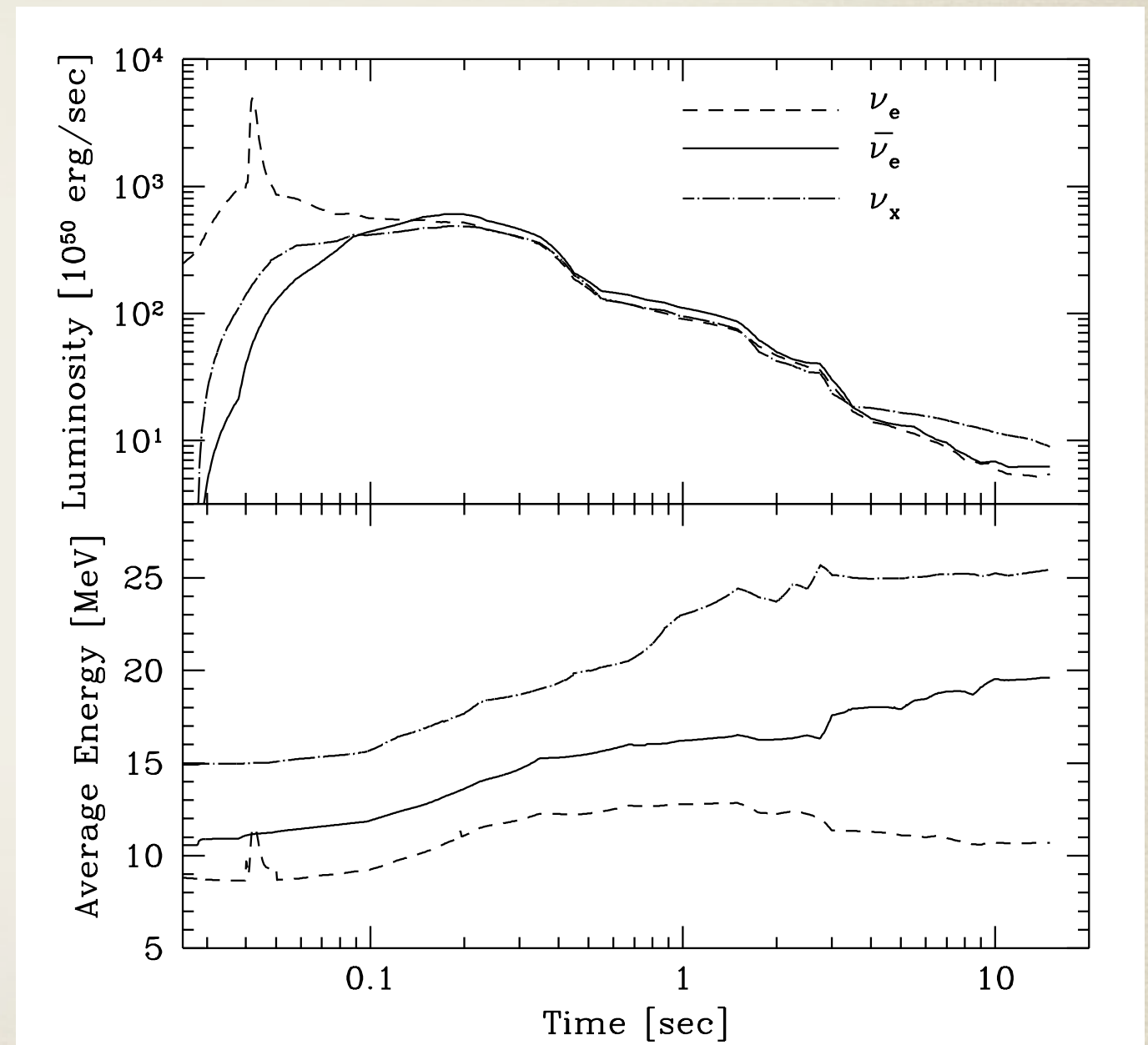
カミオカンデにおける観測



超新星爆発のメカニズム  
が実証された

# 超新星爆発ニュートリノ

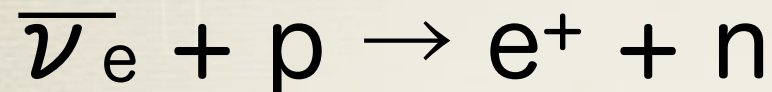
- \* ニュートリノは重力崩壊型の超新星爆発で放出される。
- \* 解放される重力エネルギー ( $\sim 3 \times 10^{53} \text{ erg}$ ) の大部分 (~99%) はニュートリノにより放出される。
- \* 全タイプのニュートリノ
- \* エネルギー :  $\sim 10 \text{ MeV}$
- \* 放出時間 :  $\sim 10 \text{ sec.}$



T.Totani et. al., *Astrophys. J.* 496, 216 (1998)

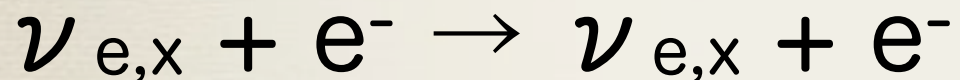
# ニュートリノ反応

## 逆ベータ崩壊



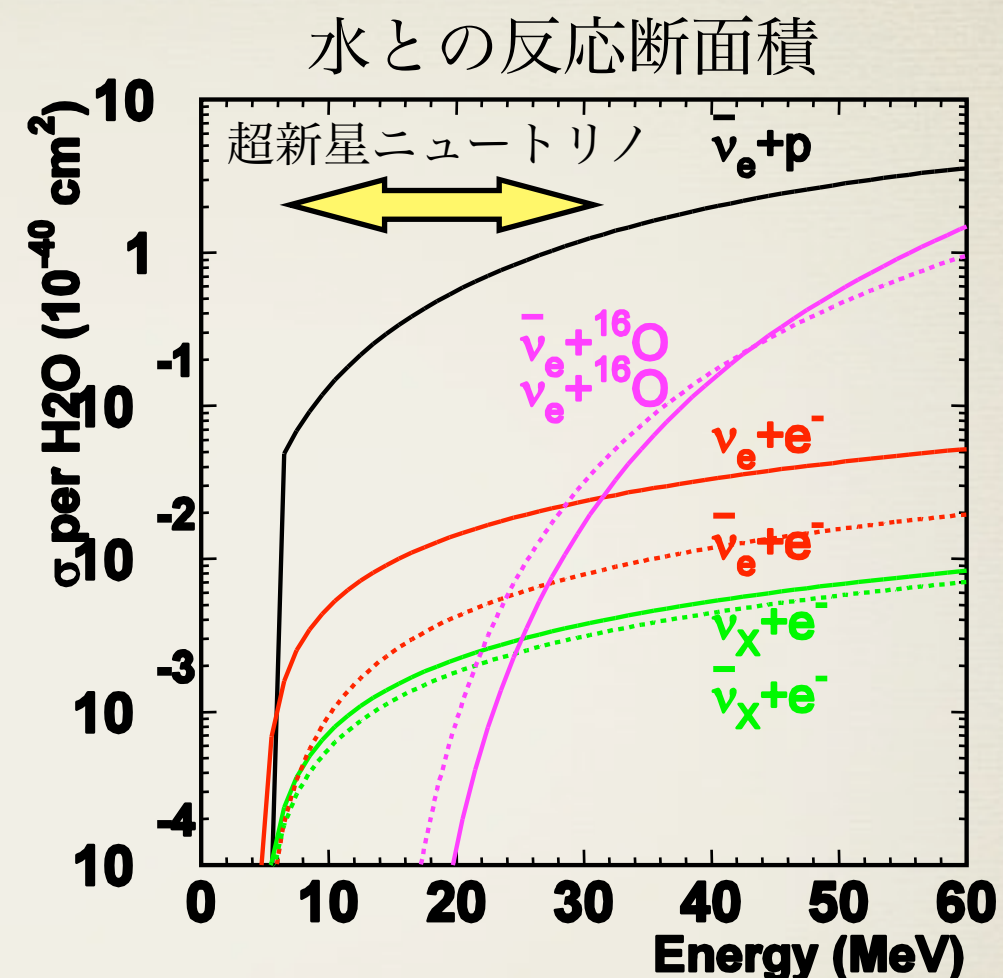
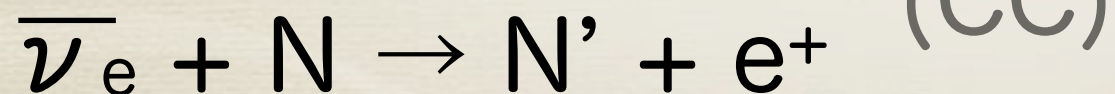
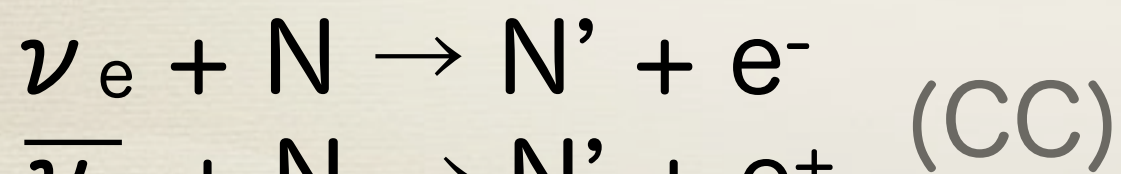
反応断面積が大きい

## 電子弹性散乱



入射ニュートリノの方向を保存

## 原子核との反応



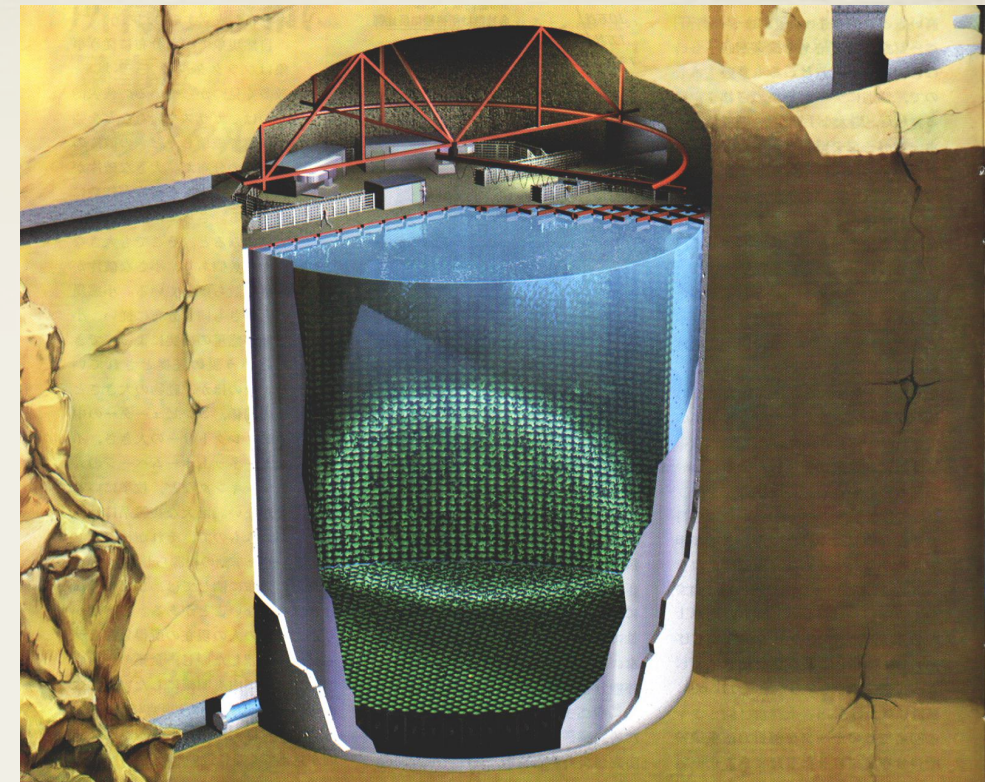
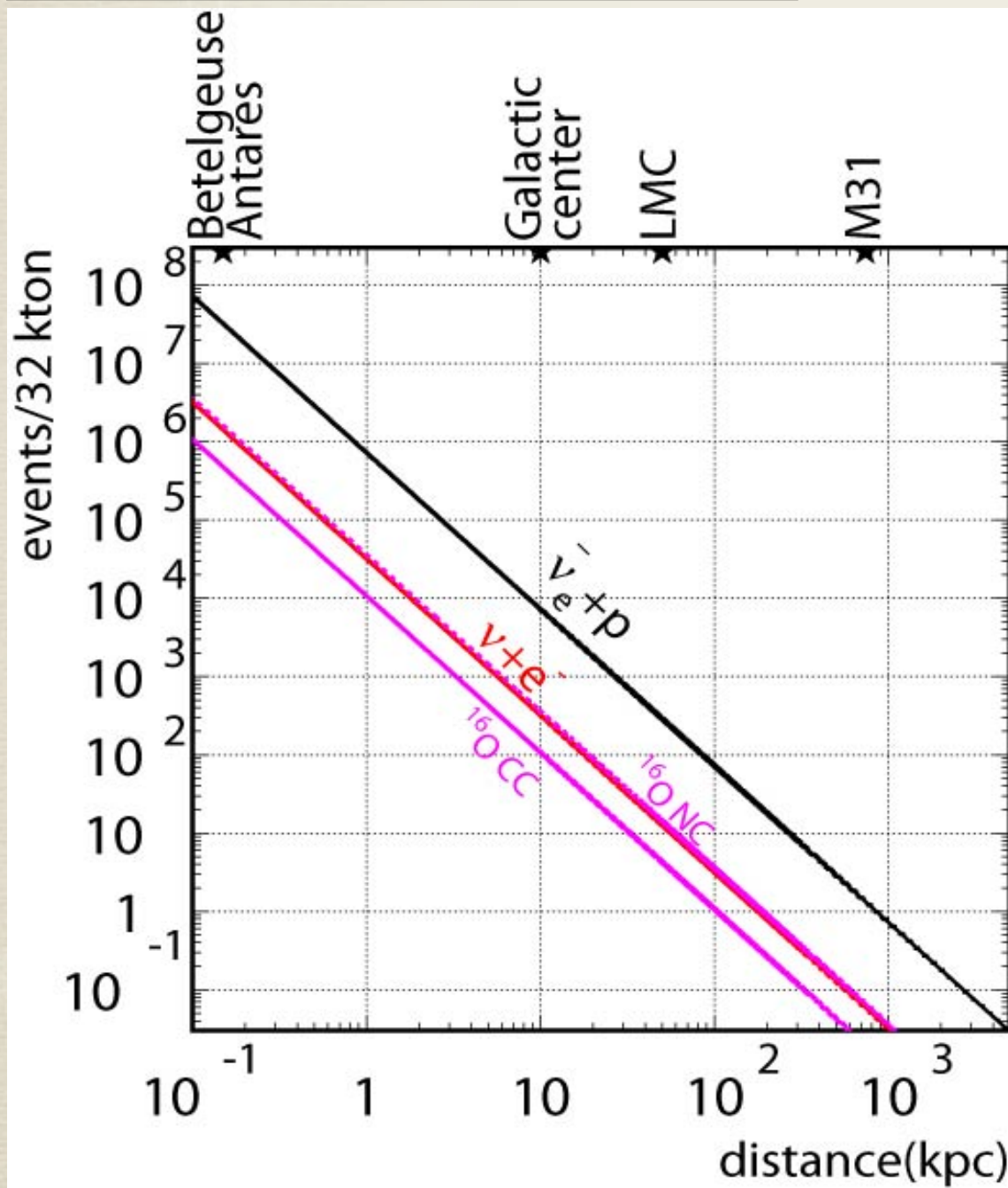
# 超新星ニュートリノ検出器

<b>Detector</b>	<b>Type</b>	<b>Location</b>	<b>Mass (kton)</b>	<b>Events @ 10 kpc</b>	<b>Status</b>
Super-K	Water	Japan	32	8000	Running (SK IV)
LVD	Scintillator	Italy	1	300	Running
KamLAND	Scintillator	Japan	1	300	Running
Borexino	Scintillator	Italy	0.3	100	Running
IceCube	Long string	South Pole	(600)	(10 <sup>6</sup> )	Running
Baksan	Scintillator	Russia	0.33	50	Running
Mini-BOONE	Scintillator	USA	0.7	200	Running
Icarus	Liquid argon	Italy	0.6	60	Running
HALO	Lead	Canada	0.079	20	Under construction
NOvA	Scintillator	USA	15	3000	Construction started
SNO+	Scintillator	Canada	1	300	Under construction

(K.Scholberg, LowNu2002, Seoul, Korea)

# スーパーカミオカンデ

期待される事象数

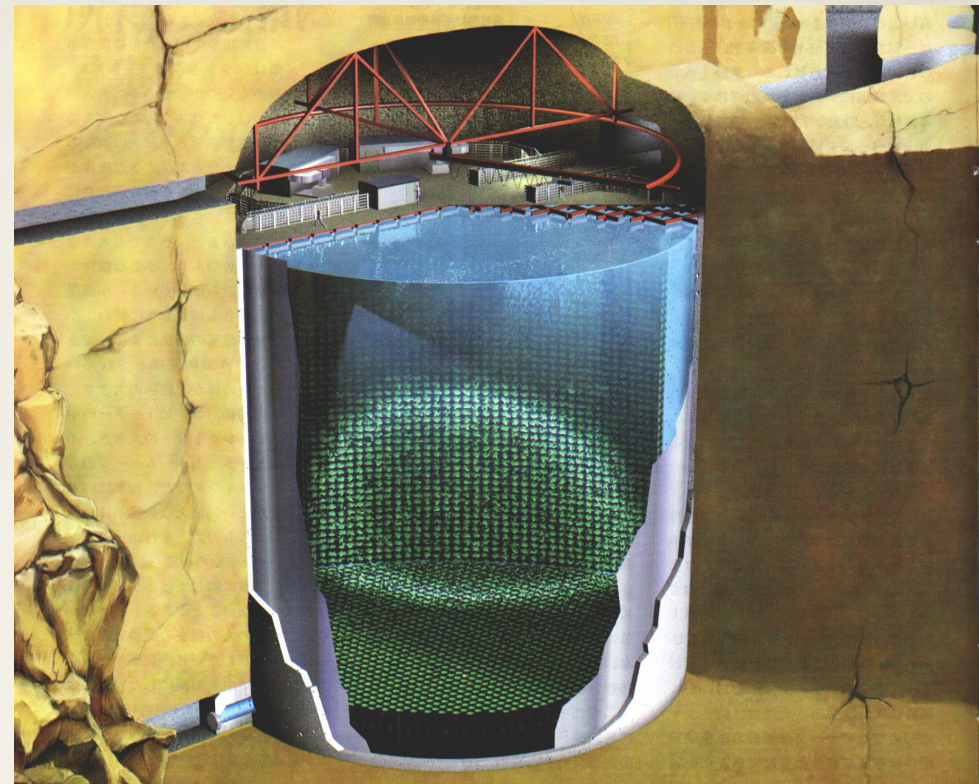
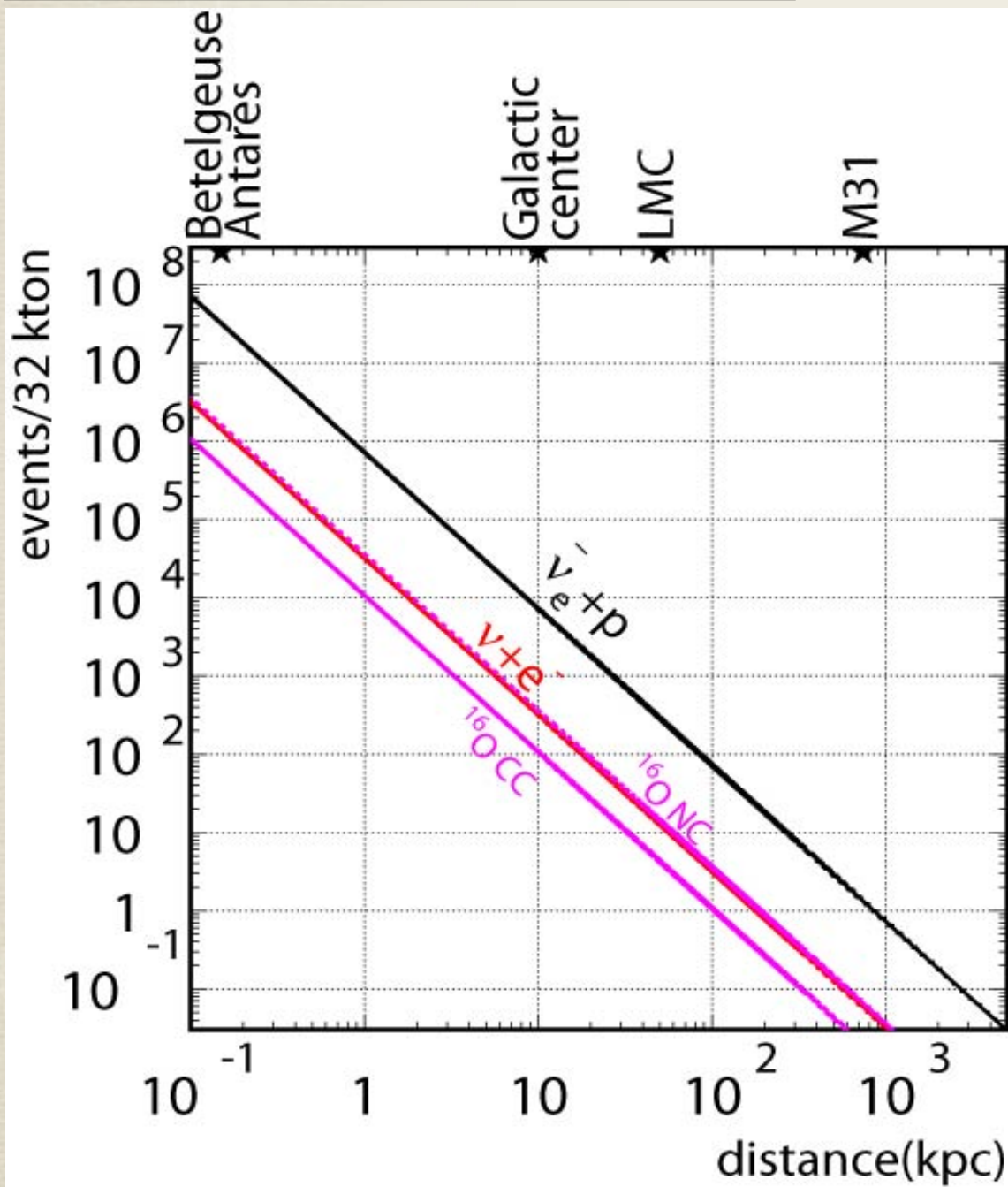


- ~7300 ev (逆ベータ崩壊)
- ~300 ev (電子弹性散乱)
- ~360 ev ( $^{16}\text{O}$  NC  $\gamma$ )
- ~100 ev ( $^{16}\text{O}$  CC)

@10kpc SuperNova, 5MeV threshold

# スーパーカミオカンデ

期待される事象数



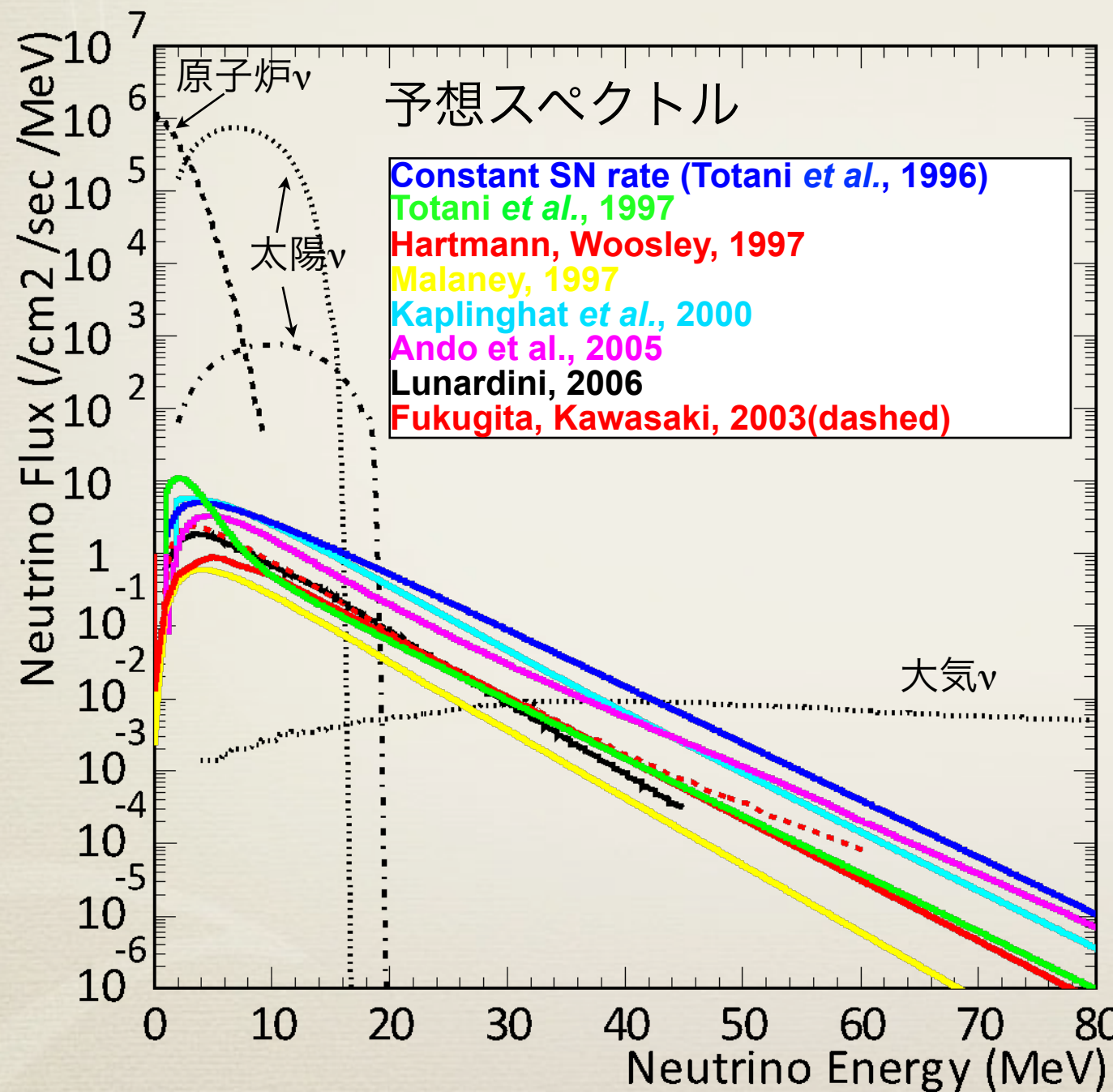
For Betelgeuse



新エレクトロニクス (横澤さん開発)

# 超新星背景ニュートリノ

宇宙開闢からの超新星爆発によるニュートリノ



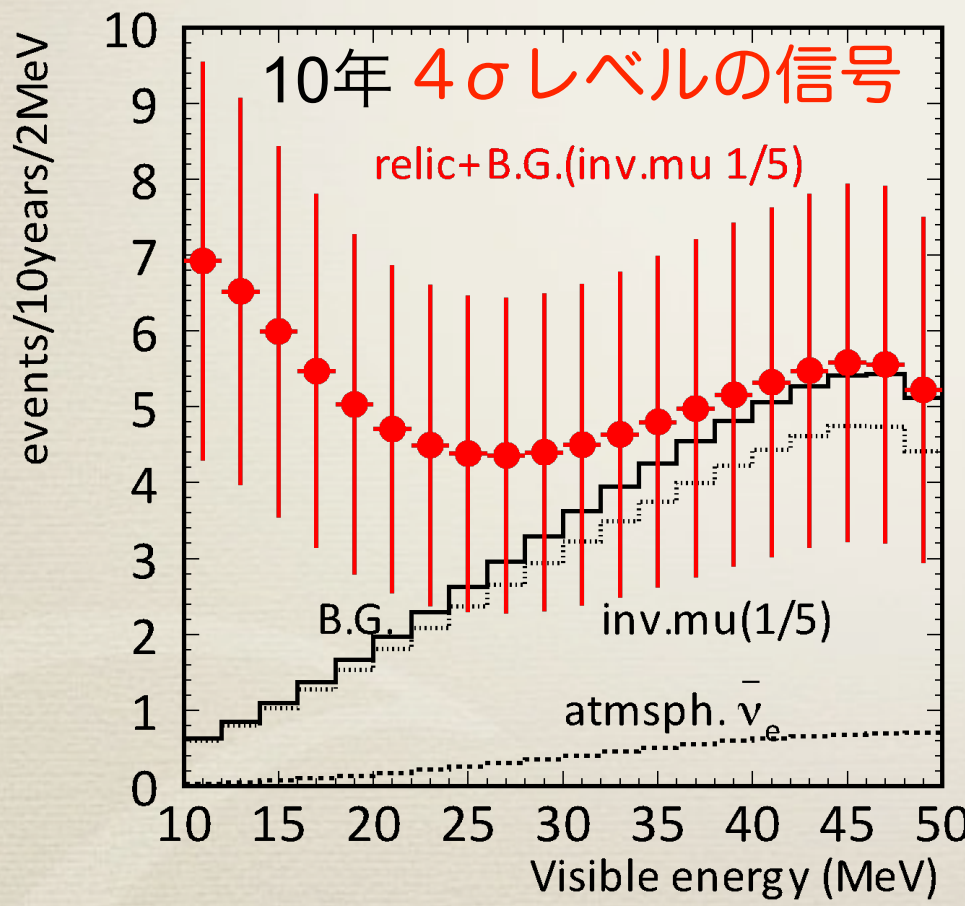
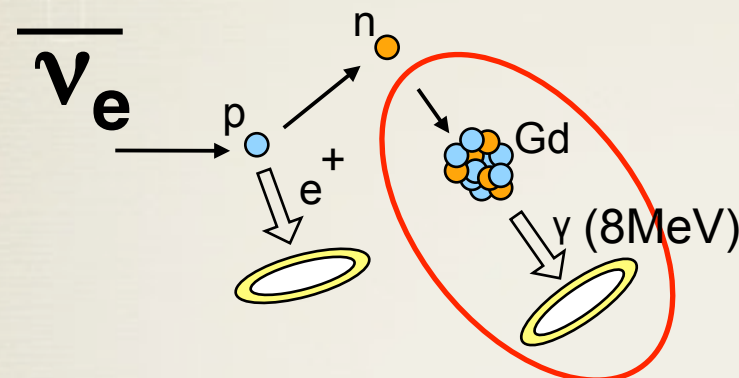
期待される信号数  
0.8~5.0 ev/year/22.5kton  
(10~30MeV)

現在は上限値のみ

理論予測値の 3 倍程度  
のところまで来ている

# GADZOOKS!

SKにGdを溶かすことで、バックグラウンドを落とす

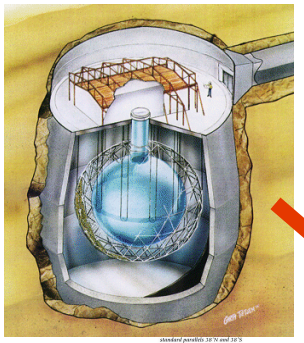


テストタンクによるR&D中





# SNEWS: SuperNova Early Warning System



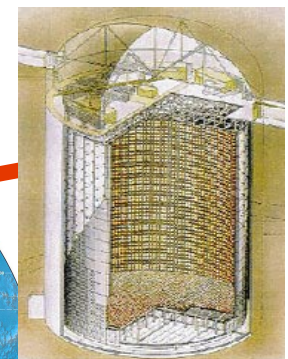
SNO  
(until 2006)



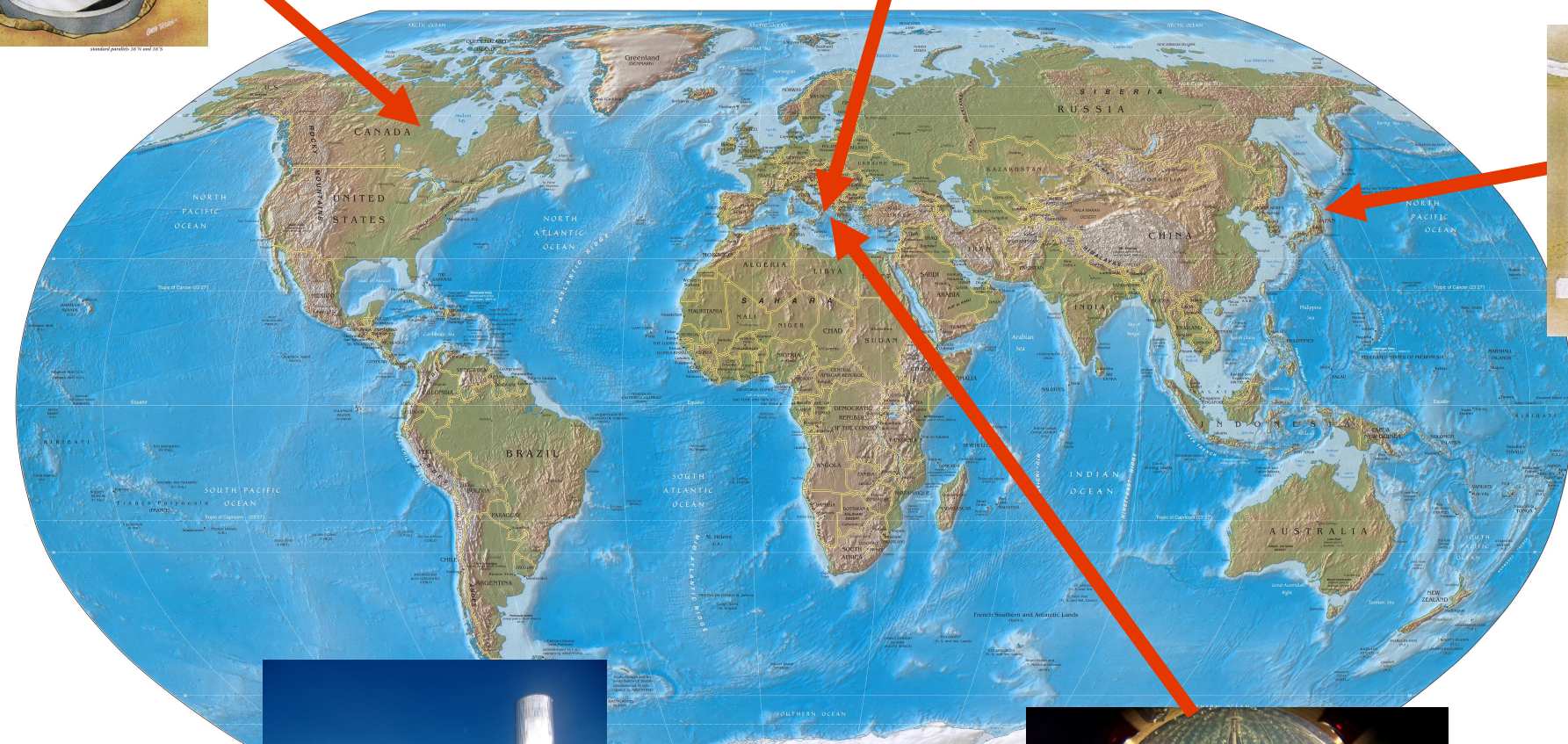
LVD



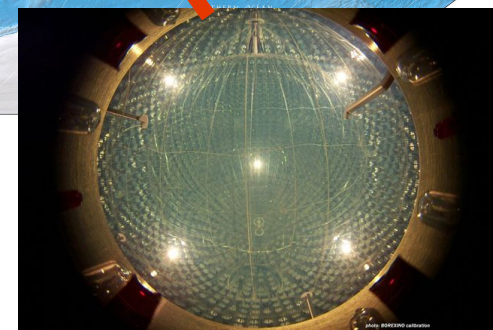
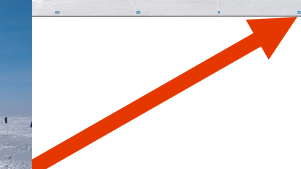
[snews.bnl.gov](http://snews.bnl.gov)



Super-K



IceCube



Borexino

(K.Scholberg, LowNu2002, Seoul, Korea)